

## CLONING OF MUTACIN GENE FROM *Streptococcus mutans* AND ITS PROTEIN EXPRESSION USING pT<sub>7</sub>-HIS PLASMID

Al-Homsi, L.<sup>1</sup>; S. Al-Okla<sup>2</sup> and A. Q. Abbady<sup>3\*</sup>

<sup>1</sup> Biotechnology Dept., Fac. Agric., Damascus University, Syria.

<sup>2</sup> Animal Biology Dept., Fac. of Science, Damascus University, Syria.

<sup>3</sup> Department of Molecular Biology and Biotechnology, Atomic Energy Commission of Syria (AECS), Damascus, Syria.

\* Corresponding author. E-mail: [abdabady@gmail.com](mailto:abdabady@gmail.com)

Tel.: +963 11 213580; fax: +963 11 6112289.

### تسليط مورثة ببتييد الميوتاسين من العقديّة الطافرة *Streptococcus mutans* والتعبير البروتيني عنها باستخدام البلازميد pT<sub>7</sub>-His

لميس الحمصي<sup>1</sup>، سعاد العقلة<sup>2</sup> و عبد القادر عبادي<sup>3\*</sup>

<sup>1</sup> قسم النقلنة الحيوية، كلية الزراعة، جامعة دمشق

<sup>2</sup> قسم علم الحياة الحيوانية، كلية العلوم، جامعة دمشق

<sup>3</sup> قسم البيولوجيا الجزيئية والنقلنة الحيوية، هيئة الطاقة الذرية السورية

\* للبريد الإلكتروني: [abdabady@gmail.com](mailto:abdabady@gmail.com)

#### الملخص

العقديّة الطافرة *Streptococcus mutans* هي خلايا كروية سبحية موجبة الغرام ولا هوائية اختيارية، توجد بشكل عام في التجويف القموي للإنسان، من أهم ما يميزها هو قدرتها على إنتاج نوع خاص من المضادات الميكروبية Bacteriocins قصيرة السلسلة الببتيدية تسمى الميوتاسين Mutacin. يثبط الميوتاسين نمو أنواع أخرى من العقديات الطافرة والعديد من البكتيريا موجبة الغرام وكذلك بعض سالبة الغرام. نظرا لصعوبة الحصول عليه وتكلفة إنتاجه المرتفعة، فقد هدفتنا في هذه الدراسة إلى تصميم نظام لإنتاج ببتييد الميوتاسين بطرائق تآشيبية تتضمن بناء المورثة المرزمة للببتييد يتفاعل بلمرة خاص ثم تسليطها والتعبير عنها، باستخدام البلازميد pT<sub>7</sub>-His، كجزء من معقد بروتيني ضخم عالي الإنتاجية والانحلالية وقابل للتنقية والكشف من خلال خصائصه اللونية.

تم بناء التسلسل النكليوتيدي المرزم للميوتاسين عن طريق تفاعل البلمرة المترابك Overlap PCR باستخدام بادئات طويلة ذات نهايات متتامة، بحيث تغطي مجتمعة كامل طول المورثة إضافة إلى بادنتين قصيرتين لتضخيم هذه الشدفة من الدنا، قطع بعد ذلك كل من المورثة والبلازميد pT<sub>7</sub>-His بانزيمات التقويد المناسبة تمهيدا لربطهما ومن ثم تحوير سلالة *E. coli* بنتائج عملية الربط، لقد أعطت نتائج هذا العمل مستعمرات إيجابية قادرة على إنتاج ببتييد الميوتاسين مرتبطا بالبروتين المتفلور الأخضر المؤشب بصورة منحلة ضمن السيتوبلازم. أمكن تنقية هذا المعقد البروتيني المؤشب (٣٠ كيلودالتون) باستخدام الكروماتوغرافيا ذات التجاذب المعدني كما أوضحتها الفصل الكهربائي على جل الأكريلاميد (SDS-PAGE) بعد صبغها، سيتمين علينا في المراحل اللاحقة اختبار أفضل الظروف لتحريير الميوتاسين من هذا المعقد ومن ثم اختبار تأثيره التضادي على حيوية العديد من السلالات البكتيرية. سيتمح تطوير هذا النظام توفير كميات كبيرة من عقار الميوتاسين بغية دراسة استخدامه مستقبلا كمضاد بكتيري واسع الطيف. الكلمات المفتاحية: العقديّة الطافرة، الميوتاسين، التسليط المورثي، pT<sub>7</sub>-His، التعبير البروتيني.

#### المقدمة

تنتج العديد من البكتيريا ببتييدات مضادة للأحياء الدقيقة Antimicrobial peptides يُطلق عليها اسم البكتيريوسين Bacteriocin، إحدى مجموعات البكتيريوسين هي مجموعة Lantibiotic الحلوية على

تسلييل مورثة الميوتاسين في بلازميد التعبير البروتيني

تم بداية تصميم ٦ بادئات ذات نهايات متتامة (M1-M6) بحيث تغطي كامل طول المورثة ومن ثم تم تضخيم هذه المورثة باستخدام زوج من البادئات النوعية الأمامية MF والعكسية MR (جدول ١ والشكل B1)، صُممت هذه البادئات اعتماداً على التسلسل النكليوتيدي الموجود في البنك الجينومي للعقديّة الطافرة *Streptococcus mutans* (Accession: AAF99577.1) بعد إضافة تسلسل أنزيمات التقييد المستخدمة للبادئات القصيرة. وقد تم التضخيم باستخدام تفاعل البلمرة المتراكب عالي الدقة بوجود إنزيم البوليمراز AccuPrim™ Taq polymeras high fidelity Kit (Invitrogen) وذلك لتجنب أي خطأ في تسلسل النكليوتيدات أثناء تضخيم المورثة، تضمن برنامج البلمرة فترة التسخن الأولية Initial denaturation مدة ٣ دقائق في الدرجة ٩٥°م اتبعت هذه الخطوة ٢٠ دورة تفاعل بلمرة Incremental PCR تتضمن تغيير درجة الالتحام كل ٥ دورات (٤٥°م، ٥٠°م، ٥٥°م، ٦٠°م) بغية حصول الالتحام بين البادئات الست والحصول على المورثة المطلوبة بحيث كل دورة يتم فيها (التسخن Denaturation في الدرجة ٩٤°م مدة ١٥ ثانية، الإلتحام Annealing مدة ٣٠ ثانية، والاستطالة Extantion في الدرجة ٧٢°م لمدة ٤٥ ثانية).

جدول ١: التسلسل النكليوتيدي للبادئات التي تم استخدامها في تسلييل مورثة الميوتاسين

الطول	التسلسل النكليوتيدي للمراسات	اسم المراسات	البروتوكول
41	5'-ATATGAGTGGATCCACCATCATCATCATCATGAGAAC-3'	BamHI-M1	بعضات تركيب المورثة
41	5'-AAACTTGAGAACTGGAAGTATAGGTTCTCATGATGATG-3'	M2	
41	5'-CTCCAGTCTCAAGTTTGAGTTTATGTTTCATTAGGATGTA-3'	M3	
41	5'-GAAACTAGGATTTTTACCCTGTACATCCTAATGAACATA-3'	M4	
41	5'-GTGAAAAATCCTAGTTTCAATAGTACTGTTGCTAATGAAA-3'	M5	
41	5'-ATATTCGCTCGAGACAAAGCTTTCATTAGCAACAGTAACTA-3'	XhoI-M6	
20	5'-ATATGAGTGGATCCACCAT-3;	MF	البدئات المضخمة لمورثة الميوتاسين
20	5'-ATATTCGCTCGAGACAAAGC-3'	MR	
20	5'-TAATCAGACTCACTATAGGG-3'	TF	البدئات الخاصة بالانسياد pT <sub>7</sub> -His
20	5'-TAGTATTGCTCAGCGTGG-3'	TR	

استخدم بعدها ناتج تفاعل البلمرة السابق كقالب لتطبيق تفاعل بلمرة ثاني عالي الدقة باستخدام البادئتين القصيرتين (Mutacin F/R) بغية تضخيم المورثة، تضمن برنامج البلمرة التسخن الأولي مدة ٣ دقائق في الدرجة ٩٥°م اتبعت هذه الخطوة بـ ٣٥ دورة تتضمن كل دورة (التسخن في الدرجة ٩٤°م مدة ١٥ ثانية، الإلتحام في الدرجة ٥٥°م مدة ٣٠ ثانية، والاستطالة في الدرجة ٧٢°م لمدة ٤٥ ثانية). بعد إجراء التفاعل تم فصل الشدقة على جل الأغاروز (٢%) بوجود موقى الفصل الكهربائي TAE (40mM Tris-Base, ) فصل المورثة المضخمة من باقي مكونات تفاعل البلمرة باستخدام طاقم PCR clean-up system (Promega). بعدها تم معالجة كلا من البلازميد pT<sub>7</sub>-His ومورثة الميوتاسين بأنزيمات التقييد BamHI و XhoI (Fermentas)، ثم أجريت عملية الربط (Ligation) باستخدام (GE healthcare) Ready-To-Go™ T4 DNA Ligase Kit بنسبة (١:١) لكل من البلازميد والشدقة، على التسلسل. استخدم نتاج الربط في تحوير السلالة *E. coli* Top 10 بطريقة الصعق الكهربائي Electroporation، ونميت البكتيريا المحورة على أوساط حاوية على الأميسيبيلين 100µg/ml. بعد النمو، تم اختبار عدد من المستعمرات النامية على أطباق الزرع بتفاعل بلمرة باستخدام بادئات نوعية للبلازميد pT<sub>7</sub>-His (TR/TF) (جدول ١) وذلك لانتقاء المستعمرات البكتيرية الحاوية على التراكيب البلازميدية الصحيحة. نميت المستعمرات الموجبة وعزلت منها البنى البلازميدية بواسطة

Qiagen) Plasmid Miniprep Kit، حيث قيس تركيزها ومن ثم تم التأكد من دقة التسميل وصحة تسلسلاتها، إما بمعاملة هذه البنى البلازميدية بأنزيمات التقييد للتأكد من أن شدة لدنا منسلة في المكان الصحيح، أو من خلال سلسلة العينات باستخدام البادئة TR التي تغطي كامل مورثة الميوتاسين الموجودة ضمن البلازميد وذلك للتأكد من خلو تسلسل المورثة من الطفرات.  
التعبير عن بروتين الميوتاسين المؤشب

بعد إدخال البنى البلازميدية إلى خلايا التعبير البروتيني *E. coli* Rosetta، نمت في دوارق الزرع Tryptone 2.5g, Yeast extracts 1.25g, ) Luria Bertani (NaCl 2.5g) ، المضاف له أمبيسيلين  $100\mu\text{g/ml}$ ، وذلك في الدرجة  $37^\circ\text{C}$  وبسرعة دوران لا تقل عن 200 دورة في الدقيقة. عند تحقق العكارة المطلوبة ( $\text{OD}_{600}=0.5$ )، تم إضافة مادة IPTG (Promega) ( $\beta\text{-D-ThioGalactoside}$ ) لتحريض عملية التعبير في وسط الزرع بتركيز  $0.5\text{mM}$ . بعد 16 ساعة من الحضانة، تم تقليب الوسط وتجميع الراسب الخلوي ومن ثم حله بالموقى الملحي PBS 1X ( $10.14\text{mM Na}_2\text{HPO}_4 \cdot 7\text{H}_2\text{O}$ ,  $0.13\text{M NaCl}$ ,  $1.76\text{mM KH}_2\text{PO}_4$ ,  $2.7\text{mM KCl}$ , adjust ) ومن ثم إعادة تعيقه بواسطة جهاز تحطيم الخلايا (Lab Sonicator Sonic) حسب البرنامج التالي ( $2\text{min}$ , pluse 15/45, Ampli 40%) وذلك ضمن الثلج، تم بعدها التفتيل للتخلص من البقايا الخلوية ومن ثم تمرير الخلاصة الخلوية على أعمدة النيكل ( Ni-NTA Agarose; Qiagen) التي لها القدرة على التقاط البروتين المؤشب من خلال ذيله الهستيديني. بعد مراحل مستفيضة من الفصل لأعمدة النيكل بالموقى ( $16.2\text{mM Na}_2\text{HPO}_4$ ,  $3.8\text{mM NaHPO}_4$ ,  $500\text{mM NaCl}$ ,  $20\text{mM Imidazol pH:7.4}$ )، تم تحرير البروتين النقي من العمود عن طريق تمرير نفس الموقى السابق ولكن بوجود تركيز عالي من الإيميدازول ( $500\text{mM}$ )، تم إدارة عملية التنقية تلك من خلال نظام الكروموتوغرافيا الألي (AKTA prime (GE Healthcare)).  
بعد التعبير والتنقية، استخدمت جل سلفات نودوسيل الصوديوم عديد الأكريلاميد 12% SDS-PAGE (المتضمنة لجل التكدس 5% Stacking gel ولجل الفصل 12% Running gel)، بغية فصل العينات المأخوذة من مختلف المراحل. حيث تم الفصل في الموقى ( $25\text{mM Tris-Base}$ ,  $200\text{mM Glycine}$ ) ( $0.25\%$  SDS and  $0.1\%$ )، وبعد الفصل الكهربية في الجل، تم صبغه بموقى أزرق الكوماسي ( $0.25\%$  Coomassie Brilliant Blue R250 (Sigma),  $45\%$  Methanol and  $10\%$  Acetic Acid)، وذلك للتأكد من حسن سير العملية.

## النتائج والمناقشة

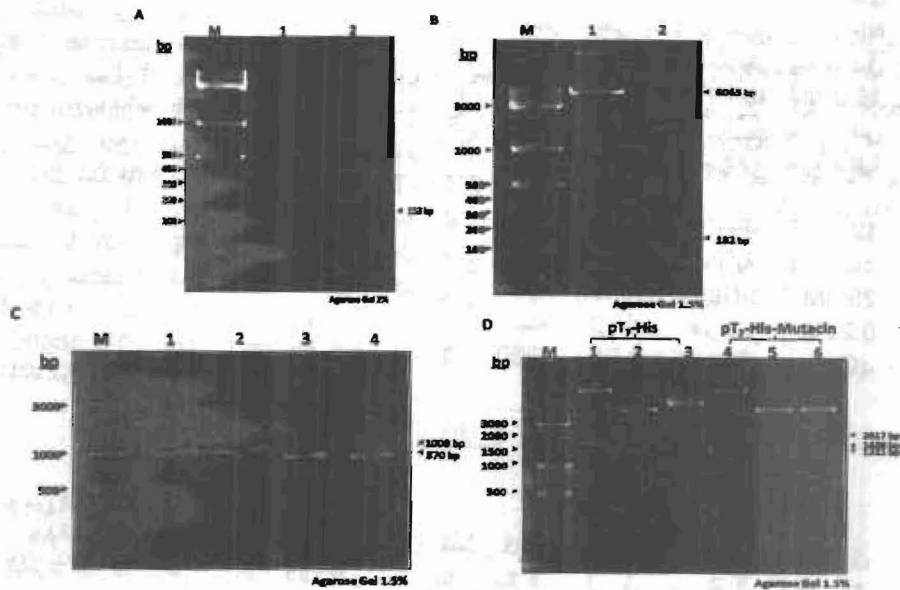
### تضخيم مورثة الميوتاسين

بداية قمنا بتصميم البادئات المتكاملة جزئياً التي تغطي كامل مورثة الميوتاسين ومن ثم تم تطبيق تفاعل البلمرة المتراكب Overlap PCR الذي تمت أمثلته بغية الحصول على المورثة المطلوبة، حيث يظهر لدى فصل ناتج تفاعل البلمرة هذا على جل الأغاروز بعد تطبيقه، شدة تمثل مورثة الميوتاسين بطول 153bp (شكل. أ٢).

### تسميل مورثة الميوتاسين في البلازميد pT<sub>7</sub>-His

بعد الحصول على كمية كافية من كل من شدة المورثة والبلازميد pT<sub>7</sub>-His، تمت معاملتهما بأنزيمي التقييد *Bam*HI و *Xho*I ومن ثم ربطهما لإنتاج البنى البلازميدية المطلوبة (الشكل. ب٢). باستخدام نواتج التسميل السابقة تم تحوير السلالة *E. coli* TOP 10 ومن ثم تسميتها على أوساط انتقائية. أجري بعد ذلك تفاعل بلمرة لعدد من المستعمرات النامية للتأكد من دخول البنى البلازميدية، حيث تظهر بنتيجة إجراء التفاعل مباشرة على المستعمرات شدة بطول 1009bp إن كانت إيجابية - أي حاوية على البلازميد وبه شدة المورثة - بينما تظهر المستعمرات السلبية الحاوية على البلازميد فقط شدة بطول 870bp (الشكل. ج٢).

للتحقق من صحة تنسيل شذفة المورثة في البلازميد، تم عزل البنية البلازميدية بطريقة miniprep من المستعمرات الإيجابية ومعالمتها بأنزيمات التقطيع *PstI/BamHI* و *PstI/HindIII* واستخدم البلازميد الأصلي كمشاهد سلبي، ثم فصلت شذف القطع الناتجة على جل الأغاروز 1.5% (الشكل. D2)، حيث نلاحظ على جل الفصل أن الشذفة 1438bp الناتجة عن معاملة البنية البلازميدية بالأنزيم *PstI/BamHI* (المسار ٥) أقصر من الشذفة 2017bp الناتجة عن معاملة البلازميد الشاهد بنفس الأنزيم (المسار ٢). وهذا يفسره استبدال قطعة الدنا المرمزة للبروتياز في البلازميد الشاهد بقطعة أصغر تحتوي على مورثة الميوتاسين في البنية البلازميدية الناتجة. من ناحية أخرى، فإن معاملة البنية البلازميدية بالأنزيم *PstI/HindIII* تظهر شذفتين بطولين مختلفين هما البلازميد وشذفة حاوية على مورثة الميوتاسين 1315bp (المسار ٦)، بينما تظهر شذفة واحدة عند معاملة البلازميد الشاهد بنفس الأنزيم (المسار ٣) وذلك لعدم احتواء البلازميد على موقع قطع للأنزيم *HindIII* والذي يوجد فقط ضمن التسلسل المرمز لبيتيد الميوتاسين. لزيادة التحقق، تم إرسال بعض البنى البلازميدية المؤكدة للسلسلة باستخدام بادئات خاصة التي تسمح كامل طول المورثة، وقد أكدت هذه النتائج صحة طول البنية البلازميدية وخلوها بالكامل من الطفرات.



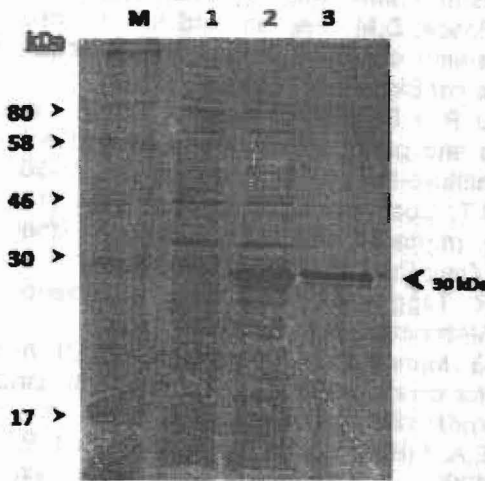
الشكل. ٢: تضخيم مورثة الميوتاسين ومراحل تنسيقها في البلازميد

(A) شكل يوضح ناتج فصل تفاعل البلمرة لمتراكب على جل الأغاروز ٢%، حيث طبق التفاعل على البادئات المصنعة مسبقاً: المسار ١: مورثة الميوتاسين، المسار ٢: شاهد سلبي باستخدام الماء بدلاً من ثنائياً. (B) ناتج معاملة شذفة مورثة الميوتاسين والبلازميد *pt7-His* بأنزيمات التقطيع *BamHI* و *XhoI*، المسار ١ البلازميد المقطوع، المسار ٢ شذفة المورثة المعاملة بأنزيمي التقطيع. (C) ناتج تفاعل البلمرة الذي تم إجراؤه على المستعمرات البكتيرية للتأكد من دخول البنية البلازميدية باستخدام البادئتين *TR/TF*. (D) التأكد من صحة البنية البلازميدية الناتجة عن عملية التنسيل من خلال قطعها بأنزيمات التقطيع *PstI/BamHI* و *PstI/HindIII* وفصل نواتج القطع: البلازميد *pt7-his* (المسار ١) والبنية البلازميدية الحاوي على المورثة (المسار ٤) قبل عملية القطع، بينما يحتوي المسارين (٢ و ٥) البلازميد والبنية البلازميدية على الترتيب بعد استخدام الأنزيم (*PstI/BamHI*)، ويظهر للمسارين (٣ و ٦) البلازميد و البنية البلازميدية بعد معاملة البلازميد بالأنزيم (*PstI/HindIII*)، يمثل المسار M سلم الدنا الجزيئي في كافة الأشكال.

### التعبير البروتيني

بغية تحريض التعبير البروتيني لمورثة الميوتاسين في البنى البلازميدية، تم نقلها إلى خلايا *E. coli* BL-21(DE3) Rosetta بعملية الصق الكهربائي وبعد التأكد من صحة العملية تم تنمية المستعمرات البكتيرية الموجبة في وسط الاستثبات بوجود الأميسيلين، حيث تم تحريض التعبير البروتيني في الخلايا البكتيرية من خلال إضافة مادة IPTG وحضنها في شروط التثنية المثلى. بعدها تم تجميع الخلايا ومن ثم تحطيمها بالأمواج فوق الصوتية. انطلاقاً من هذه الخلاصة الخلوية، تمت تنقية البروتين المندمج المؤشب بأعمدة الكروماتوغرافيا ذات التجاذب المعدني، حيث أن وجود واسمة الهيستيدين السباعية في هذا البروتين المؤشب يمكنه من الارتباط بشوارد النيكل المنتشرة على ملاط العمود. بعد مراحل مستفيضة من الضل، يمكن تحرير البروتين النقي من العمود بتمرير موقفي حاوي على مركب الإيميدازول المناقض الشره لواسمة الهيستيدين والقادر على إزاحة البروتين النقي من العمود. لمتابعة عملية التعبير والتنقية تم فصل عينات من هذه الخلاصات الخلوية عبر جل الأكريلاميد (الشكل ٣)، وذلك قبل (مسار ١) وبعد ١٦ ساعة (مسار ٢) من عملية التحريض أو حتى بعد عملية التنقية (مسار ٣) ومن ثم صبغ الجل بأزرق الكوماسي. لقد أوضح الشكل ظهور عصابة مميزة للبروتين المؤشب بطول ٣٠ كيلودالتون حصرياً بعد التحريض، وقد أمكن تنقية هذا البروتين باستخدام الكروماتوغرافيا ذات الإلفة كما يظهره الشكل (٣).

#### Coomassie blue staining



#### Acrylamide gel 12%

الشكل ٣: التعبير البروتيني عن البروتين المندمج الحاوي على بيتيد الميوتاسين  
 نتاج فصل الخلاصات البروتينية على جل الأكريلاميد ١٢%، المسار ١: الخلاصة الخلوية قبل عملية التحريض، المسار ٢: الخلاصة الخلوية بعد ١٦ ساعة من التحريض وأما المسار ٣: فهو للبروتين النقي (٣٠ كيلودالتون) بعد عملية التنقية، إضافة لوجود واسم البروتين المعياري (M). تم إظهار البروتينات من خلال الصبغ بأزرق الكوماسي.

لقد تجنبا في هذا العمل مشكلة فقدان البروتين لبنيته الفراغية وترسبه أثناء عملية التعبير البروتيني، وذلك من خلال استخدام البنى المندمجة، بحيث تم ربط الميوتاسين ببروتين الفلورة الخضراء العالي الذوبانية (Wu et al., 2009)، فهو يتيح التعبير عن البنية البروتينية المندمجة بشكل منحل في السيتوبلازما دون تراكمها في الأجسام الضمنية (Inclusion Bodies)، كما هو الحال في بعض أنظمة التعبير البروتيني ذات المحضضات الأكثر فاعلية. من ناحية أخرى، يحتوي البروتين المؤشب، الناتج عن التعبير في هذا البلازميد، على واسمة الهيستيدين السباعية 7xHistidine tag من الناحية الكربوكسيلية للبروتين المندمج، بين بروتين الفلورة الميوتاسين، وذلك نظراً لوجود التسلسل المرز لهذا الذيل في بنية البلازميد، الأمر الذي يتيح لنا من

**المراجع**

- Amsterdam, D.; E.A. Gorzynski; T.R. Beam and C. Rotstein (1994). Susceptibility of bacteraemic isolates of gram-positive cocci to daptomycin and other antimicrobial agents. *J Antimicrob Chemother.* 33, 1060-1064.
- Baca Garcia, P. and J. Liebana Urena (1990). Bacteriocins of *Streptococcus mutans*: mutacins. *Rev Eur Odontoestomatol.* 2, 127-130.
- Bucher, M.H.; A.G. Evdokimov and D.S. Waugh (2002). Differential effects of short affinity tags on the crystallization of *Pyrococcus furiosus* maltodextrin-binding protein. *Acta Crystallogr D Biol Crystallogr.* 58, 392-397.
- Caufield, P.W.; N.K. Childers; D.N. Allen and J.B. Hansen (1985). Distinct bacteriocin groups correlate with different groups of *Streptococcus mutans* plasmids. *Infect Immun.* 48, 51-56.
- Davis, G.D.; C. Elisee; D.M. Newham and R.G. Harrison (1999). New fusion protein systems designed to give soluble expression in *Escherichia coli*. *Biotechnol Bioeng.* 65, 382-388.
- di Guan, C.; P. Li; P.D. Riggs and H. Inouye (1988). Vectors that facilitate the expression and purification of foreign peptides in *Escherichia coli* by fusion to maltose-binding protein. *Gene.* 67, 21-30.
- Hamada, S. and T. Ooshima (1975). Inhibitory spectrum of a bacteriocin like substance (mutacin) produced by some strains of *Streptococcus mutans*. *J Dent Res.* 54, 140-145.
- Jack, R.W.; J.R. Tagg and B. Ray (1995). Bacteriocins of gram-positive bacteria. *Microbiol Rev.* 59, 171-200.
- Jenny, R.J.; K.G. Mann and R.L. Lundblad (2003). A critical review of the methods for cleavage of fusion proteins with thrombin and factor Xa. *Protein Expr Purif.* 31, 1-11.
- LaVallie, E.R.; E.A. DiBlasio; S. Kovacic; K.L. Grant; P.F. Schendel and J.M. McCoy (1993). A thioredoxin gene fusion expression system that circumvents inclusion body formation in the *E. coli* cytoplasm. *Biotechnology (N Y).* 11, 187-193.
- Marassi, F.M.; S.J. Opella; P. Juvvadi and R.B. Merrifield (1999). Orientation of cecropin A helices in phospholipid bilayers determined by solid-state NMR spectroscopy. *Biophys J.* 77, 3152-3155.
- Matsuzaki, K.; K. Sugishita; N. Ishibe; M. Ueha; S. Nakata; K. Miyajima and R.M. Epand (1998). Relationship of membrane curvature to the formation of pores by magainin 2. *Biochemistry.* 37, 11856-11863.
- Mota-Meira, M.; G. LaPointe; C. Lacroix and M.C. Lavoie (2000). MICs of mutacin B-Ny266, nisin A, vancomycin, and oxacillin against bacterial pathogens. *Antimicrob Agents Chemother.* 44, 24-29.
- Parks, T.D.; K.K. Leuther; E.D. Howard; S.A. Johnston and W.G. Dougherty (1994). Release of proteins and peptides from fusion proteins using a recombinant plant virus proteinase. *Anal Biochem.* 216, 413-417.

- Parrot, M.; P.W. Caufield and M.C. Lavoie (1990). Preliminary characterization of four bacteriocins from *Streptococcus mutans*. *Can J Microbiol.* 36, 123-130.
- Pryor, K.D. and B. Leiting (1997). High-level expression of soluble protein in *Escherichia coli* using a His6-tag and maltose-binding-protein double-affinity fusion system. *Protein Expr Purif.* 10, 309-319.
- Qi, F.; P. Chen and P.W. Caufield (1999). Purification of mutacin III from group III *Streptococcus mutans* UA787 and genetic analyses of mutacin III biosynthesis genes. *Appl Environ Microbiol.* 65, 3880-3887.
- Qi, F.; P. Chen and P.W. Caufield (2000). Purification and biochemical characterization of mutacin I from the group I strain of *Streptococcus mutans*, CH43, and genetic analysis of mutacin I biosynthesis genes. *Appl Environ Microbiol.* 66, 3221-3229.
- Qi, F.; W.C. Page and P. Chen (2004). Mutacin I biosynthesis genes and proteins. [www.freepatentsonline.com](http://www.freepatentsonline.com). US006699970B2, 01-37.
- Sang, Y. and F. Blecha (2008). Antimicrobial peptides and bacteriocins: alternatives to traditional antibiotics. *Anim Health Res Rev.* 9, 227-235.
- Smith, D.B. and K.S. Johnson (1988). Single-step purification of polypeptides expressed in *Escherichia coli* as fusions with glutathione S-transferase. *Gene.* 67, 31-40.
- Ulvatne, H.; O. Samuelsen; H.H. Haukland; M. Kramer and L.H. Vorland (2004). Lactoferricin B inhibits bacterial macromolecular synthesis in *Escherichia coli* and *Bacillus subtilis*. *FEMS Microbiol Lett.* 237, 377-384.
- Wu, X.; D. Wu; Z. Lu; W. Chen; X. Hu and Y. Ding (2009). A novel method for high-level production of TEV protease by superfolder GFP tag. *J Biomed Biotechnol.* 2009, 591923.

## CLONING OF MUTACIN GENE FROM *Streptococcus mutans* AND ITS PROTEIN EXPRESSION USING pT<sub>7</sub>-HIS PLASMID

Al-Homsi, L.<sup>1</sup>; S. Al-Okla<sup>2</sup> and A. Q. Abbady<sup>3\*</sup>

<sup>1</sup> Biotechnology Dept., Fac. Agric., Damascus University, Syria.

<sup>2</sup> Animal Biology Dept., Fac. of Science, Damascus University, Syria.

<sup>3</sup> Department of Molecular Biology and Biotechnology, Atomic Energy Commission of Syria (AECS), Damascus, Syria.

\* Corresponding author. E-mail: [abdabady@gmail.com](mailto:abdabady@gmail.com)

Tel.: +963 11 213580; fax: +963 11 6112289.

### ABSTRACT

*Streptococcus mutans* is gram positive, facultative anaerobic bacteria and commonly found in the human oral cavity. The most important feature is its ability to produce an antimicrobial short peptide (Bacteriocin) known as Mutacin which is a short peptide chain of amino acids. Mutacin can inhibit the growth of other mutans streptococci, many gram positive and some gram negative bacteria. In this work, we aimed to design a novel system to produce the Mutacin using recombinant methods. These include the construction of the coding sequence of the peptide by special PCR followed by gene cloning and expression in the plasmid pT<sub>7</sub>-His. Mutacin was produced as a part of a high solubility and productivity fusion protein which is able to be purified and detected by its colorimetric properties.

The whole gene of Mutacin was constructed using PCR with long overlapping primers which cover the whole gene and with two additional short primers to amplify it. Digested Mutacin fragment, as well as the pT<sub>7</sub>-His plasmid, were ligated and then used to transform *E. coli* strain. The positive colonies expressed a soluble fusion protein (30 kDa) of the Mutacin with the Green Florescent Protein (GFP) in the cytoplasm. This fusion protein was purified by metal affinity chromatography, as shown after SDS-PAGE separation and gel staining. In the next work, we will test the best conditions to release the Mutacin from the fusion protein in order to study its antibiotic activity against many bacterial strains. The development of this system will provide large quantities of the Mutacin for future studies and applications as broad spectrum antibacterial peptide.

**Keywords:** *Streptococcus mutans*, Mutacin, pT<sub>7</sub>-His, gene cloning, protein expression

قام بتحكيم البحث

أ.د. / فتحي اسماعيل على حوقه

أ.د. / ساميه محمد مرسى بيومي

كلية الزراعة - جامعة المنصورة

كلية الزراعة - جامعة المنصورة